

11
**Влияние ионосферы на возбуждение электромагнитного поля
диапазона КНЧ и более низких частот в ближней зоне**

© Е.Д. Терещенко,¹ П.Е. Терещенко,^{1,2} А.Е. Сидоренко,¹ В.Ф. Григорьев,¹ А.А. Жамалетдинов²

¹ Полярный геофизический институт,
183010 Мурманск, Россия

² Санкт-Петербургский филиал Института земного магнетизма, ионосферы и распространения радиоволн
им. Н.В. Пушкова РАН,
199034 Санкт-Петербург, Россия
e-mail: tereshchenko@gmail.com

(Поступило в Редакцию 3 августа 2017 г.)

Рассмотрен вопрос о возбуждении электромагнитного поля диапазона КНЧ и более низких частот в ближней зоне в волноводе Земля–ионосфера. Экспериментальные исследования показали наличие вариаций амплитуды поля в нижней части КНЧ диапазона и на более низких частотах в различных геофизических условиях при отсутствии вариаций в диапазоне СЧЧ. Для оценки факторов, обуславливающих эту особенность поведения поля, предложены теоретические расчеты, показывающие, что при низкой проводимости земли влияние ионосферы в ближней зоне может быть заметным.

DOI: 10.21883/JTF.2018.06.46024.2453

Введение

Применение наземных контролируемых источников электромагнитных полей КНЧ (3–30 Hz) и СЧЧ (30–300 Hz) диапазонов имеет перспективы для организации связи на больших расстояниях, глубинного зондирования земли, сейсмического мониторинга и дистанционного контроля состояния ионосферы. Положительные отличительные особенности низкочастотных волн заключаются в крайне малом затухании с расстоянием при распространении в волноводе Земля–ионосфера и в глубоком проникновении в подстилающую среду.

Во многих задачах зондирования природных сред для интерпретации результатов проводить измерения поля необходимо на достаточном удалении от источника. В непосредственной близости от наземного горизонтального источника электромагнитное поле слабо зависит от проводимости земли и ионосферы. Для применения импедансных методов зондирования земли требуется расстояние не менее 5–7 скин-слоев, а для установления характерной зависимости поля от геометрических и электрических параметров волновода Земля–ионосфера необходима дистанция более трех высот эффективного волновода h .

Промежуточной области малых расстояний от источника (0.5–2 h) в работах по КНЧ и СЧЧ диапазонам уделено крайне мало внимания. Существующие теоретические представления и некоторые численные оценки [1] сводятся в основном к тому, что в этой области зависимость поля от проводимости ионосферы пренебрежимо мала, а обратная высота волновода начинает играть роль множителя в выражениях для амплитуды полей лишь дальше нескольких десятков километров от источника. Зачастую влиянием ионосферы на таких малых расстояниях от источника пренебре-

гают [2]. Экспериментальные работы в этой области частот и расстояний немногочисленны [3,4], при этом полученные результаты не полностью согласуются с существующими представлениями на частотах ниже 10 Hz, в частности, наблюдаются вариации амплитуды поля в разные времена года и в различное время суток.

В настоящей работе мы представляем результаты измерений, проведенных в ходе эксперимента FENICS-2014, проходившего на Кольском п-ве в 2014 г. [5], в котором в отличие от ранее выполненных экспериментов использовался более мощный передатчик, что позволило исключить влияние как внешних, так и внутренних шумов. В качестве теоретической основы для интерпретации предложено новое решение задачи о возбуждении магнитного поля в плоском волноводе горизонтальной заземленной антенной в строгой электродинамической постановке.

Описание и результаты эксперимента

Международный комплексный эксперимент FENICS-2014 был проведен в августе–сентябре 2014 г. Осуществлялась серия сеансов генерации электромагнитного поля в диапазоне 10^{-2} –200 Hz. В первой половине эксперимента использовалась антенна субширотного направления ($L1$), а во второй — субмеридионального ($L2$) (рис. 1). Длина каждой антенны составляет около 100 km. Генерация производилась ежедневно с 01:00 до 05:00 по местному времени на 14 частотах продолжительностью 10–15 min на каждой частоте.

Рассмотрим результаты измерений магнитного поля субширотной антенны, которые были получены в обсерватории ПГИ в п. Ловозеро (рис. 1) 23–29 августа

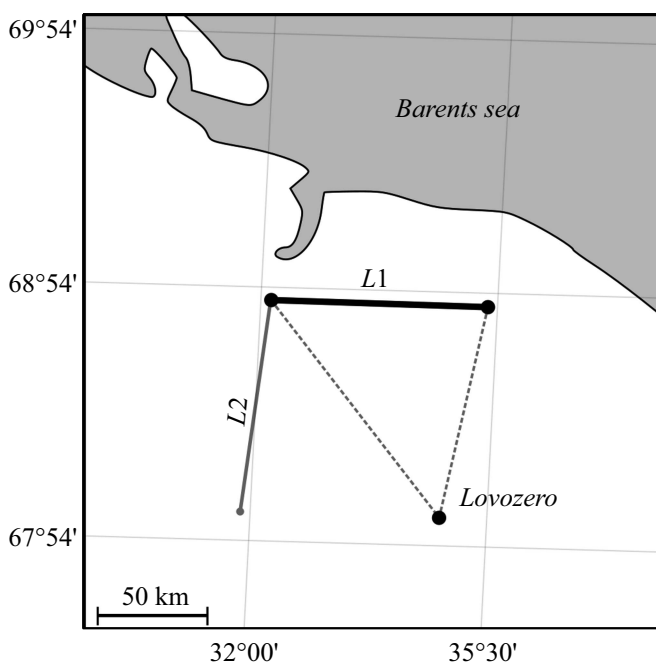


Рис. 1. Карта-схема эксперимента.

2014 г. Расстояния от точки измерений до концов антенны составляли 125 и 100 км.

Регистрация сигналов производилась при помощи трехкомпонентного индукционного магнитометра, имеющего два ортогональных горизонтальных датчика и один вертикальный. Горизонтальные датчики ориентиро-

вались по стрелке буссоли в направлениях С–Ю (H_{N-S}) и З–В (H_{W-E}). Магнитное склонение — восточное, 12° . Сила тока в передающей антенне регистрировалась цифровой системой сбора данных. Частота дискретизации составляла 512 Hz. По окончании эксперимента была проведена обработка полученных данных и выполнена нормировка амплитуды магнитного поля на силу тока в антенне.

Результаты измерений в диапазоне 0.4–100 Hz показаны на рис. 2. Как можно видеть, амплитуда поля в диапазоне частот 10–100 Hz в течение всего эксперимента оставалась постоянной, а на частотах ниже 10 Hz средний уровень поля в некоторые дни заметно менялся. Эти колебания амплитуды не могут быть связаны с влиянием случайных шумов — по результатам измерений сигнал превышал шум на два порядка, поэтому измерялся с точностью, многократно превышающей суточные вариации.

Такую же особенность поведения поля мы наблюдали и в предыдущих экспериментах, которые проводились в различные времена года и в разное время суток [3,4].

Для объяснения обнаруженной особенности поведения КНЧ поля необходимо рассмотреть его связь с параметрами нижней ионосферы в области расстояний от источника в пределах одной-двух высот эффективного волновода. С этой целью приведем решение задачи о возбуждении КНЧ–СНЧ поля горизонтальной заземленной антенной с учетом наличия ионосферы, полученное при строгой электродинамической постановке, и выполним сопоставление результатов с экспериментальными наблюдениями.

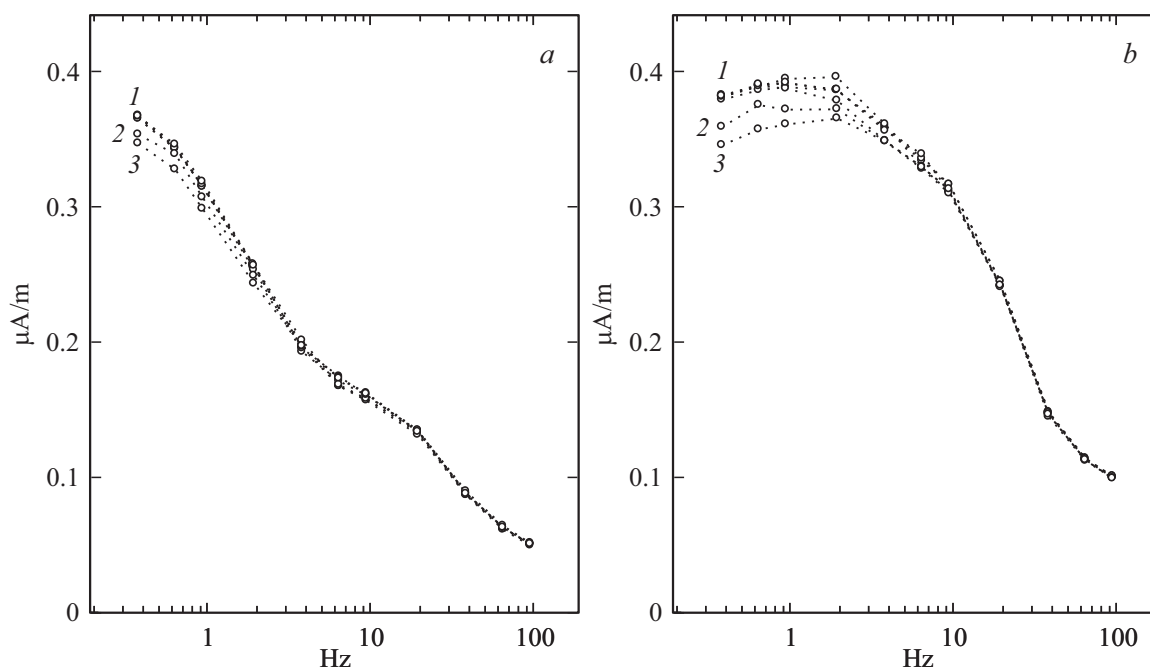


Рис. 2. Зависимость амплитуды магнитного поля от частоты при силе тока в передающей антенне 1 А в сеансах 23–29 августа 2014 г. (обс. Ловозеро) — компоненты H_{W-E} (a) и H_{N-S} (b). Обозначения кривых: 1 — измерения 23–27.08.2014 г., 2 — 28.08.2014 г., 3 — 29.08.2014 г.

Теоретическая интерпретация экспериментальных результатов

Рассмотрим возбуждение плоского волновода горизонтальной заземленной антенной. Определим поле в трехслойной среде (рис. 3), формируемое горизонтальным излучателем длиной $2L$, питаемым током с гармонической зависимостью от времени $\exp(-i\omega t)$ и находящимся на границе раздела $z = 0$.

При этом будем считать проводимость земли σ_{-1} и ионосферы σ_1 постоянными и изотропными.

Систему координат выберем следующим образом: начало декартовых координат поместим в середину антенны, ось z направим вверх, ось x — вдоль антенны, а y — поперек антенны. Расстояние до точки наблюдения обозначим R , а расстояния на плоскости $(x, y, 0)$ обозначим ρ — от центра и ρ_η — от произвольной точки антенны.

Среду в области $0 \leq z \leq h$ считаем практически непроводящей ($\sigma = +0$, при этом наличие знака „+“ у нуля указывает на небольшое поглощение) с диэлектрической проницаемостью $\epsilon_0 \approx 10^{-9}/(36\pi)$ F/m и магнитной проницаемостью $\mu_0 = 4\pi \cdot 10^{-7}$ Н/м. Предполагаем, что в области $z < 0$ имеем электромагнитные параметры $\epsilon_{-1}, \mu_0, \sigma_{-1}$, а при $z \geq h$ — параметры $\epsilon_1, \mu_0, \sigma_1$.

Задача о возбуждении электромагнитного поля сторонним током \mathbf{J} сводится к решению уравнений Гельмгольца для электрического вектора-потенциала \mathbf{A} с соответствующими граничными условиями [1,2]. В дальнейшем удобно использовать уравнения для комплексных амплитуд соответствующих компонент ($\mathbf{A} \rightarrow \mathbf{A} \exp(-i\omega t)$, $\mathbf{E} \rightarrow \mathbf{E} \exp(-i\omega t)$, $\mathbf{H} \rightarrow \mathbf{H} \exp(-i\omega t)$, где \mathbf{E} и \mathbf{H} — электрическое и магнитное поля).

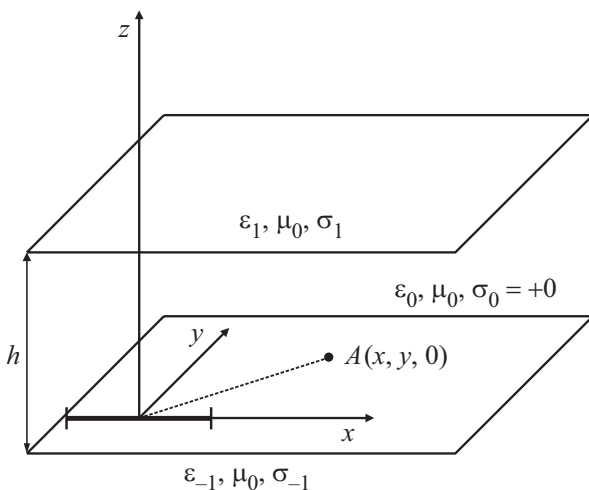


Рис. 3. Геометрическая схема задачи. Земля — $z < 0$, воздух — $0 \leq z \leq h$, ионосфера — $z > h$.

Принимая во внимание, что источник направлен вдоль оси x (рис. 3), представим \mathbf{A} в виде двух составляющих

$$\mathbf{A}^{(j)} = A_x^{(j)} \mathbf{e}_x + A_z^{(j)} \mathbf{e}_z, \tag{1}$$

где значок $j = -1, 0, 1$ указывает на среду, а \mathbf{e}_x и \mathbf{e}_z — орты, направленные вдоль осей x и z соответственно.

Дальнейший шаг — это получение решения системы уравнений

$$\nabla^2 \mathbf{A}^{(j)} + k_j^2 \mathbf{A}^{(j)} = -\mathbf{J}, \quad j = -1, 0, 1 \tag{2}$$

с граничными условиями

$$\mathbf{A}^{(1)}|_{z=h} = \mathbf{A}^{(0)}|_{z=h}, \quad \mathbf{A}^{(-1)}|_{z=0} = \mathbf{A}^{(0)}|_{z=0},$$

$$\frac{\partial}{\partial z} A_x^{(1)}|_{z=h} = \frac{\partial}{\partial z} A_x^{(0)}|_{z=h}, \quad \frac{\partial}{\partial z} A_x^{(0)}|_{z=0} = \frac{\partial}{\partial z} A_x^{(-1)}|_{z=0},$$

$$\frac{1}{k_1^2} \operatorname{div} \mathbf{A}^{(1)}|_{z=h} = \frac{1}{k_0^2} \operatorname{div} \mathbf{A}^{(0)}|_{z=h},$$

$$\frac{1}{k_0^2} \operatorname{div} \mathbf{A}^{(0)}|_{z=0} = \frac{1}{k_{-1}^2} \operatorname{div} \mathbf{A}^{(-1)}|_{z=0}. \tag{3}$$

Кроме того, для исключения волн, приходящих из бесконечности, в силу поглощения в среде, требуем

$$\mathbf{A}^{(1)}|_{R \rightarrow \infty} = 0, \quad \mathbf{A}^{(-1)}|_{R \rightarrow \infty} = 0.$$

Волновые числа k_j , входящие в уравнения (2) и (3), определяются выражением

$$k_j = \frac{\omega}{c} \sqrt{\frac{\epsilon_j}{\epsilon_0} + i \frac{\sigma_j}{\omega \epsilon_0}} = \frac{\omega}{c} \sqrt{\tilde{\epsilon}'_j}, \quad j = -1, 0, 1, \tag{4}$$

где c — скорость света.

В качестве первого шага найдем решение системы (2) с граничными условиями (3) для точечного заземленного горизонтального источника, расположенного в начале координат.

Для этого случая

$$\mathbf{J}^{(0)} = J \Delta_x \delta(x) \delta(y) \delta(z - 0) \mathbf{e}_x,$$

$$\mathbf{J}^{(-1)} = J \Delta_x \delta(x) \delta(y) \delta(z + 0) \mathbf{e}_y, \tag{5}$$

где $\delta(x)$ — дельта-функция Дирака, J — сила тока, $J \Delta_x$ — дипольный момент, Δ_x — длина диполя, стремящаяся к бесконечно малой величине.

Решение системы (2) с граничными условиями (3) удобно строить в цилиндрической системе координат (ρ, ϕ, z) в виде разложения по $\cos \frac{m}{2} \phi$, $m = 0, 1, \dots$, образующих полную систему на промежутке $(0, 2\pi)$. Неизвестные функции, зависящие от ρ и z и входящие в разложение, определяются исходя из граничных условий. Опуская промежуточные преобразования и вычисления, можем представить $A_x^{(j)}$ и $A_z^{(j)}$ в следующем виде:

$$A_x^{(1)} = \frac{J \Delta_x}{4\pi} \int_0^\infty \alpha_1 \exp(-v_1 z) J_0(\lambda \rho) d\lambda,$$

$$A_x^{(0)} = \frac{J\Delta_x}{4\pi} \int_0^\infty \left[\left(\frac{\lambda}{v_0} + \alpha_0 \right) \exp(-v_0 z) + \beta_0 \exp(v_0 z) \right] J_0(\lambda \rho) d\lambda,$$

$$A_x^{(-1)} = \frac{J\Delta_x}{4\pi} \int_0^\infty \left(\frac{\lambda}{v_{-1}} + \beta_{-1} \right) \exp(v_{-1} z) J_0(\lambda \rho) d\lambda. \quad (6)$$

Подобные выражения имеем и для $A_z^{(j)}$:

$$A_z^{(1)} = -\frac{J\Delta_x}{4\pi} \frac{\partial}{\partial x} \int_0^\infty \eta_1 \exp(-v_1 z) \frac{J_0(\lambda \rho)}{\lambda} d\lambda,$$

$$A_z^{(0)} = -\frac{J\Delta_x}{4\pi} \frac{\partial}{\partial x} \int_0^\infty (\eta_0 \exp(-v_0 z) + \gamma_0 \exp(v_0 z)) \frac{J_0(\lambda \rho)}{\lambda} d\lambda,$$

$$A_z^{(-1)} = -\frac{J\Delta_x}{4\pi} \frac{\partial}{\partial x} \int_0^\infty \gamma_{-1} \exp(v_{-1} z) \frac{J_0(\lambda \rho)}{\lambda} d\lambda, \quad (7)$$

где

$$\sqrt{k_j^2 - \lambda^2} = i\sqrt{\lambda^2 + \lambda^2} \equiv i v_j, \quad \lambda_j = -i k_j. \quad (8)$$

Так как в процессе вычислений фиксировали ветвь корня таким образом, что $\text{Im}(\sqrt{k_j^2 - \lambda^2}) > 0$, то $\text{Re}(v_j) > 0$.

Система уравнений для неизвестных $\alpha_j, \beta_j, \eta_j$ и γ_j получается в результате использования уравнений (3). Граничные условия при $z = h$ дают следующую систему уравнений:

$$\begin{aligned} \alpha_1 \exp(-v_1 h) - \alpha_0 \exp(-v_0 h) - \beta_0 \exp(v_0 h) &= \\ &= \frac{\lambda}{v_0} \exp(-v_0 h), \\ \eta_1 \exp(-v_1 h) - \eta_0 \exp(-v_0 h) - \gamma_0 \exp(v_0 h) &= 0, \\ -\alpha_1 v_1 \exp(-v_1 h) + \alpha_0 v_0 \exp(-v_0 h) - \beta_0 v_0 \exp(v_0 h) &= \\ &= -\lambda \exp(-v_0 h), \\ \eta_1 v_1 k_0^2 \exp(-v_1 h) - \eta_0 v_0 k_1^2 \exp(-v_0 h) &+ \\ + \gamma_0 v_0 k_1^2 \exp(v_0 h) = \lambda \left[k_1^2 \left(\left(\frac{\lambda}{v_0} + \alpha_0 \right) \exp(-v_0 h) \right. \right. & \\ \left. \left. + \beta_0 \exp(v_0 h) \right) - \alpha_1 k_0^2 \exp(-v_1 h) \right], & \quad (9) \end{aligned}$$

а при $z = 0$

$$\alpha_0 + \beta_0 - \beta_{-1} = \lambda \frac{v_0 - v_{-1}}{v_0 v_{-1}},$$

$$\alpha_0 - \beta_0 + \beta_{-1} \frac{v_{-1}}{v_0} = 0,$$

$$\eta_0 + \gamma_0 - \gamma_{-1} = 0,$$

$$\begin{aligned} \eta_0 v_0 k_{-1}^2 + \gamma_{-1} v_{-1} k_0^2 = \lambda \left[k_0^2 \left(\frac{\lambda}{v_{-1}} + \beta_{-1} \right) \right. & \\ \left. - k_{-1}^2 \left(\frac{\lambda}{v_0} + \alpha_0 \right) \right]. & \quad (10) \end{aligned}$$

Совместное решение (9) и (10) позволяет определить коэффициенты, входящие в выражение (6). Для того, чтобы иметь представление о структуре коэффициентов, используемых в дальнейшем, приведем выражения для α_0 и β_0 :

$$\begin{aligned} \alpha_0 &= \frac{\lambda(v_0 - v_1)}{v_0} \\ &\times \frac{(v_0 + v_1) + (v_0 - v_1) \exp(-2v_0 h)}{(v_0 + v_{-1})(v_0 + v_1) - (v_0 - v_{-1})(v_0 - v_1) \exp(-2v_0 h)}, \\ \beta_0 &= \frac{2\lambda(v_0 - v_1) \exp(-2v_0 h)}{(v_0 + v_{-1})(v_0 + v_1) - (v_0 - v_{-1})(v_0 - v_1) \exp(-2v_0 h)}. \end{aligned} \quad (11)$$

Имея результаты вычислений для вектора-потенциала, можно определить электромагнитное поле. Чтобы не усложнять расчетов, рассмотрим составляющую магнитного поля H_x . Используя связь полей с вектором-потенциалом $\mathbf{H}^{(-1)} = \text{rot} \mathbf{A}^{(-1)}$, можно получить

$$H_x^{(-1)} = \frac{\partial}{\partial y} A_z^{(-1)}. \quad (12)$$

Подставляя выражения для $A_x^{(-1)}$ и $A_z^{(-1)}$ из (6) и (7), находим

$$H_x^{(-1)} = -\frac{J\Delta_x}{4\pi} \frac{\partial}{\partial x} \frac{\partial}{\partial y} \int_0^\infty \frac{\gamma_{-1}}{\lambda} \exp(v_{-1} z) J_0(\lambda \rho) d\lambda.$$

Выразив коэффициенты β_{-1}, γ_{-1} через $\alpha_0, \beta_0, \eta_0$ и γ_0 с помощью (9) и (10), получим

$$H_x^{(-1)} = -\frac{J\Delta_x}{4\pi} \frac{\partial}{\partial x} \frac{\partial}{\partial y} \int_0^\infty \frac{\eta_0 + \gamma_0}{\lambda} \exp(v_{-1} z) J_0(\lambda \rho) d\lambda. \quad (13)$$

При возбуждении волн с частотой ниже 300 Hz хорошим приближением при рассмотрении поля является „квазистационарное приближение“ [2,6], в рамках которого полагают $\kappa_0 \rightarrow 0$. Воспользуемся условием $\kappa_0 = 0$. Тогда из систем уравнений (9) и (10) следует

$$\eta_0|_{\kappa_0=0} = -(1 + \alpha_0)|_{\kappa_0=0}, \quad \gamma_0|_{\kappa_0=0} = \beta_0|_{\kappa_0=0}. \quad (14)$$

Подставляя эти значения в (13), имеем

$$\begin{aligned} H_x^{(-1)}|_{\kappa_0=0} &= \frac{J\Delta_x}{4\pi \kappa_{-1}} \frac{\partial}{\partial x} \\ &\times \frac{\partial}{\partial y} \left[\int_0^\infty \frac{2\kappa_{-1}}{\lambda + v_{-1}} \exp(v_{-1} z) J_0(\lambda \rho) d\lambda \right. \\ &\left. + 2 \int_0^\infty \frac{v_{-1}}{\kappa_{-1}} f(\lambda, \kappa_{-1}, \kappa_1, h) \exp(v_{-1} z) J_0(\lambda \rho) d\lambda \right], \end{aligned} \quad (15)$$

где

$$f(\lambda, \kappa_{-1}, \kappa_1, h) = \frac{2(\lambda - \nu_{-1})(\lambda - \nu_1) \exp(-2\lambda h)}{(\lambda + \nu_{-1})(\lambda + \nu_1) - (\lambda - \nu_{-1})(\lambda - \nu_1) \exp(-2\lambda h)}.$$

Формула (15) представляет поле в виде суммы поля в двуслойной среде и дополнения, отражающего влияние ионосферы. При $h \rightarrow \infty$, т.е. при отсутствии ионосферы, второе слагаемое в скобках стремится к нулю.

Первое слагаемое в скобках несложно вычислить, используя два интеграла Ватсона [7]:

$$\int_0^\infty \frac{\exp(\nu_{-1}z)}{\nu_{-1}} J_0(\lambda\rho) d\lambda = \frac{\exp(-\kappa_{-1}R)}{R} = \frac{\exp(ik_{-1}R)}{R},$$

$$\int_0^\infty \frac{\exp(\nu_{-1}z)}{\nu_{-1}} J_0(\lambda\rho) d\lambda = I_0(r_+) K_0(r_-), \quad (16)$$

где

$$R = \sqrt{\rho^2 + z^2}, \quad r_+ = \kappa_{-1} \frac{R+z}{2}, \quad r_- = \kappa_{-1} \frac{R-z}{2},$$

а $I_0(r_+)$ и $K_0(r_-)$ — модифицированные функции Бесселя.

В результате получим

$$H_x^{(-1)}|_{x_0 \rightarrow 0} = -\frac{J\Delta_x}{4\pi\kappa_{-1}} \frac{\partial}{\partial x} \frac{\partial}{\partial y} \left[\frac{1}{\kappa_{-1}} \frac{\partial}{\partial z} \times \frac{\exp(\kappa_{-1}R)}{R} - \frac{1}{\kappa_{-1}} \frac{\partial^2}{\partial z^2} I_0(r_+) K_0(r_-) - 2 \int_0^\infty \frac{\nu_{-1}}{\kappa_{-1}} f(\lambda, \kappa_{-1}, \kappa_1, h) \exp(\nu_{-1}z) J_0(\lambda\rho) d\lambda \right]. \quad (17)$$

Отсюда следует выражение для поля на границе раздела $z = 0$:

$$H_x^{(-1)}|_{x_0 \rightarrow 0, z \rightarrow 0} = \frac{J\Delta_x}{4\pi\kappa_{-1}} \frac{\partial}{\partial x} \frac{\partial}{\partial y} \left(\kappa_{-1} \left[I_0\left(\rho \frac{\kappa_{-1}}{2}\right) \times K_0\left(\rho \frac{\kappa_{-1}}{2}\right) + I_1\left(\rho \frac{\kappa_{-1}}{2}\right) K_1\left(\rho \frac{\kappa_{-1}}{2}\right) \right] + 2 \int_0^\infty \frac{\nu_{-1}}{\kappa_{-1}} f(\lambda, \kappa_{-1}, \kappa_1, h) \exp(\nu_{-1}z) J_0(\lambda\rho) d\lambda \right) \Big|_{z \rightarrow 0}.$$

Принимая во внимание, что

$$\frac{\partial}{\partial y} = \frac{\partial \rho}{\partial y} \frac{\partial}{\partial \rho} = \frac{y}{\rho} \frac{\partial}{\partial \rho},$$

находим

$$H_x^{(-1)}|_{x_0 \rightarrow 0, z \rightarrow 0} = -\frac{J\Delta_x}{2\pi\kappa_{-1}} \frac{\partial}{\partial x} \frac{y}{\rho} \left[\frac{\kappa_{-1}}{\rho} I_1\left(\rho \frac{\kappa_{-1}}{2}\right) \times K_1\left(\rho \frac{\kappa_{-1}}{2}\right) + \int_0^\infty \frac{\nu_{-1}}{\kappa_{-1}} f(\lambda, \kappa_{-1}, \kappa_1, h) J_1(\lambda\rho) \lambda d\lambda \right].$$

Введем новую переменную интегрирования $s = \lambda\rho$ и обозначим

$$\rho\kappa_j = (1-i)\rho\sqrt{\pi f\mu_0\sigma_j} \equiv (1-i)D_j, \quad j = \pm 1.$$

Нетрудно заметить, что D_j — это отношение расстояния до точки наблюдения к толщине скин-слоя в среде. Таким образом, в новых переменных будем иметь следующие выражения для поля:

$$H_x^{(-1)}|_{x_0 \rightarrow 0, z \rightarrow 0} = -\frac{J\Delta_x}{2\pi} \frac{\partial}{\partial x} \frac{y}{\rho^2} \frac{F_H(\rho)}{(1-i)D_{-1}}, \quad (18)$$

где

$$F_H(\rho) = (1-i)D_{-1} I_1\left(D_{-1} \frac{1-i}{2}\right) K_1\left(D_{-1} \frac{1-i}{2}\right) + \int_0^\infty \sqrt{1 - \frac{s^2}{2iD_{-1}^2}} \tilde{f}(s) J_1(s) ds,$$

$\tilde{f}(s) =$

$$= \frac{2s(s - \sqrt{s^2 - 2iD_{-1}^2})(s - \sqrt{s^2 - 2iD_1^2}) \exp(-2sh/\rho)}{(s + \sqrt{s^2 - 2iD_{-1}^2})(s + \sqrt{s^2 - 2iD_1^2}) - (s - \sqrt{s^2 - 2iD_{-1}^2})(s - \sqrt{s^2 - 2iD_1^2}) \exp(-2sh/\rho)}$$

Формула (18) описывает поле горизонтального заземленного диполя. Поле линейной антенны определяется суммой полей, излучаемых источниками, относящимися к антенне. Обозначим $\mathbf{H}^{(-1)}(\rho, z)$ магнитное поле, возбуждаемое линсйной антенной в нижнем полупространстве, тогда

$$\mathbf{H}^{(-1)}(\rho, z = 0) = \sum \mathbf{H}^{(-1)}(\rho, z \rightarrow 0),$$

т.е. равно сумме полей источников, находящихся в точке η на антенне (рис. 3). Устремляя Δ_x к нулю, суммирование в формуле можно заменить на интегрирование по η , тогда $J\Delta_x \rightarrow Jd\eta$. В результате получим

$$\mathcal{H}_x^{(-1)}(\rho, 0) = \int_{-L}^L H_x^{(-1)}(\rho_\eta, z \rightarrow 0) \Big|_{J\Delta_x \rightarrow I} d\eta,$$

где $\rho_\eta = \sqrt{(x-\eta)^2 + y^2}$.

Для интегрирования необходимо подставить выражение для поля диполя, находящегося не в начале координат, а в точке $x = \eta$. С этой целью произведем замену в выражении (18) для магнитного поля $x \rightarrow x - \eta$, $\rho \rightarrow \rho_\eta$ и $\partial/\partial x = -\partial/\partial \eta$.

Тогда, выполнив интегрирование по η , получим

$$\mathcal{H}_x^{(-1)}(\rho, 0) = \frac{I}{2\pi} \frac{y}{\rho^2} \frac{F_H(\rho_\eta)}{(1-i)D_{-1}} \Big|_{-L}^L. \quad (19)$$

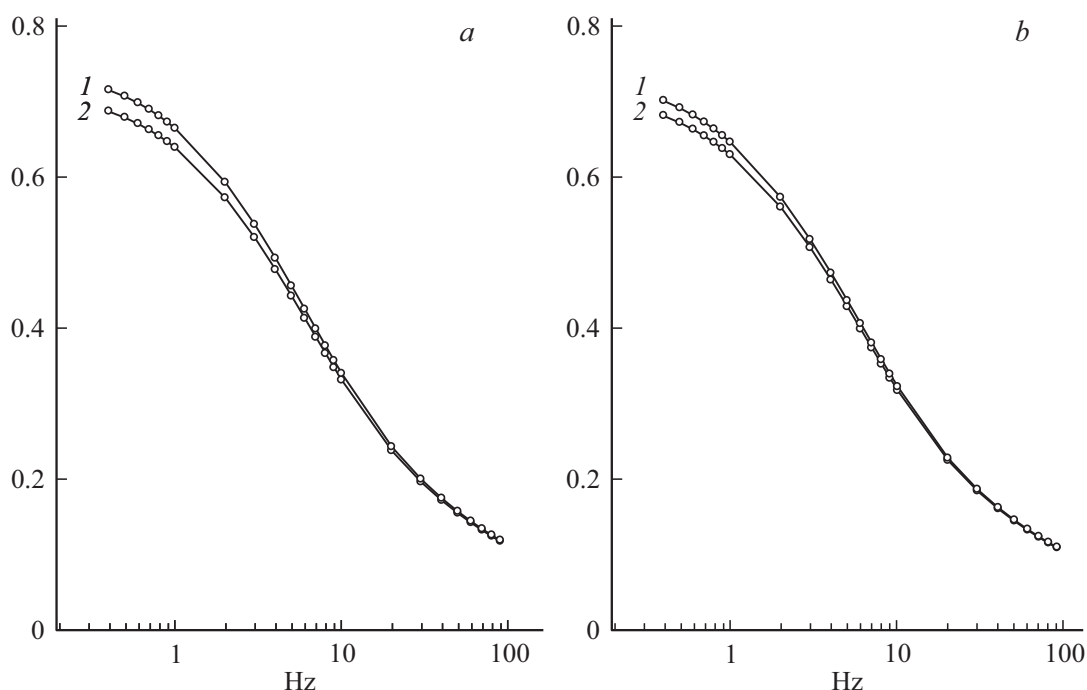


Рис. 4. Расчетные значения F_H/D_{-1} при высотах ионосферы $h = 70$ km (a) и 85 km (b) и проводимостях $\sigma_1 = 10^{-4}$ Sm/m (кривые 1) и $5 \cdot 10^{-4}$ Sm/m (кривые 2).

Таким образом, связь амплитуды поля с условиями внешней среды определяется множителем F_H/D_{-1} , зависящим от σ_{-1} , σ_1 , и h . На рис. 4 приведены графики этой величины для частот 0.4–100 Hz для значений параметров $\sigma_1 = 10^{-4}$, $5 \cdot 10^{-4}$ Sm/m и $h = 70$ и 85 km. Координаты точки, для которой выполнен расчет, соответствуют условиям рассматриваемого эксперимента, а проводимость земли σ_{-1} принималась равной 10^{-5} Sm/m, что характерно для Кольского п-ва.

Как следует из графиков, изменения высоты ионосферы влияют на общий уровень амплитуды во всем диапазоне, в то время как вариации эффективной проводимости изменяют амплитуду лишь в некоторой области частот, не превышающей 10 Hz. Такой же характер имеют и вариации амплитуды в различные дни наблюдений во время эксперимента (рис. 2).

Выводы

Предложенное в работе решение задачи о поле горизонтального диполя в трехслойной среде позволяет связать наблюдаемые в экспериментах в КНЧ диапазоне вариации амплитуды магнитного поля контролируемого источника на расстояниях 1–2 высот эффективного волновода с изменениями проводимости ионосферы в различных геофизических условиях. По данным ближайшей обсерватории Лопарская (Мурманская обл.) К-индекс геомагнитной активности в часы наблюдений 23–27 августа колебался в пределах от нуля до единицы, а 28–29 августа вырос до пяти-шести единиц. Как видно

на рис. 4, кривые для спокойных дней практически совпадали друг с другом, а в возмущенный период их уровень понижался. На основании этого можно предположить, что возмущение привело к изменению концентрации электронов и проводимости в ионосфере.

Таким образом, экспериментально обнаружено и теоретически показано, что в области, не превышающей 1–2 высот волновода, имеется заметное влияние ионосферы на амплитуду электромагнитного поля диапазона КНЧ и более низких частот. Предложенный в работе расчет поля справедлив и на больших расстояниях — до 2000 km, где допустимо пренебрежение кривизной волновода Земля-ионосфера. В результате расширяются возможности интерпретации дистанционного зондирования как ионосферы, так и земли с использованием контролируемых наземных источников КНЧ диапазона, а также повышается их информативность.

Список литературы

- [1] Wait J.R. *Electromagnetic Waves in Stratified Media*. Elmsford, N.Y.: Pergamon Press, 1970.
- [2] Вешев А.В. *Электропрофилирование на постоянном и переменном токе*. 2-е изд. перераб. и доп. Л.: Недра, 1980. 391 с.
- [3] Терещенко Е.Д., Григорьев В.Ф., Сидоренко А.Е., Милченко А.Н., Мольков А.В., Собчаков Л.А., Васильев А.В. // Письма в ЖЭТФ. 2007. Т. 85. Вып. 8. С. 471–473.

- [4] Терещенко Е.Д., Григорьев В.Ф., Сидоренко А.Е., Миличенко А.Н., Мольков А.В., Собчаков Л.А., Васильев А.В. // Геомагнетизм и аэрономия. 2007. Т. 47. № 6. С. 855–856.
- [5] Колобов В.В., Баранник М.Б., Жамалетдинов А.А. // Труды КНЦ. 2/2015 (28). Вып. 10. С. 52–64.
- [6] Fock V. Zur Berechnung des elektromagnetischen Wechselstromfeldes bei ebener Begrenzung. Ann. Phys. 1933. Vol. 409. P. 401–420. doi: 10.1002/andp.19334090405
- [7] Терещенко Е.Д., Терещенко П.Е. // ЖТФ. 2017. Т. 87. Вып. 3. С. 453–457. doi: 10.21883/JTF.2017.03.44254.1917